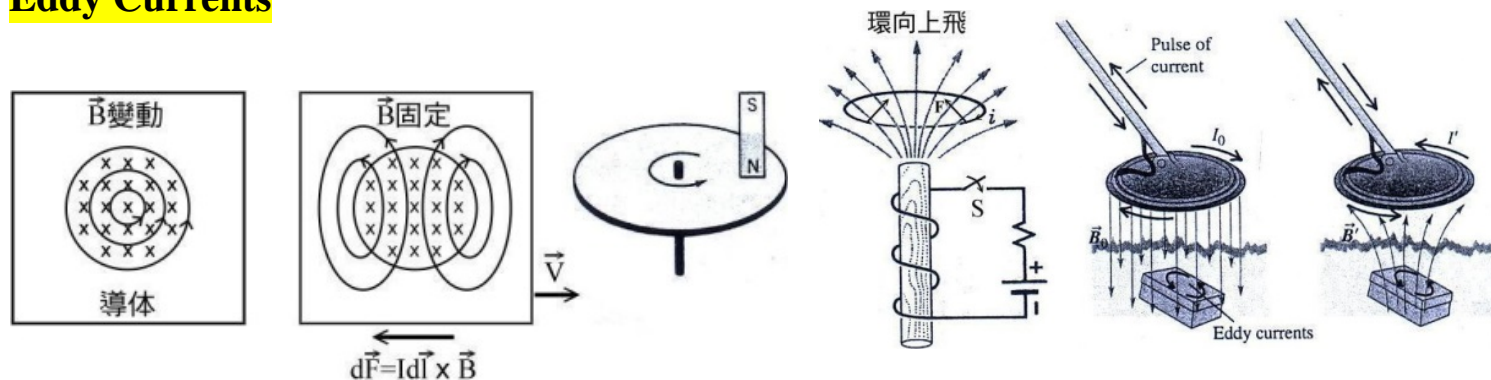


Eddy Currents



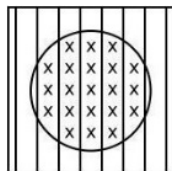
例：電磁爐

例：阻泥、煞車、車速表

魔術？

metal detector

防止 eddy：切成條或片如右圖



H.W.：Ex. 14; Prob. 1, 3, 6, 7, 8, 9.

Ch. 32 Inductance and Magnetic Materials

$\varepsilon = -d\phi/dt$ ， ϕ 是通過「一端直線前進、一端螺旋前進的橡皮筋所掃出的波浪狀曲面」的磁通量。

但若繞得很緊密，則可用 $\varepsilon = \sum (-d\phi_i/dt) = -(d/dt) \sum \phi_i$ 。

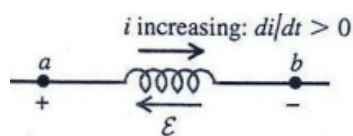
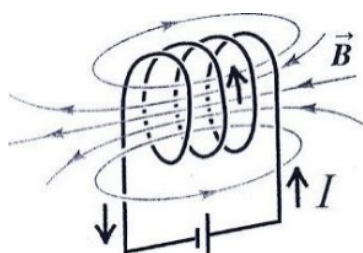
\therefore each $\phi_i \propto I$ ， \therefore flux linkage $\sum \phi_i \propto I$ 。

寫成 $\sum \phi_i = LI$ ，則 $\varepsilon = -(d/dt)(LI) = -LdI/dt$ ，

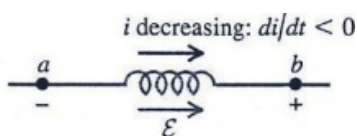
(self) inductance $L \equiv (\sum \phi_i)/I$ 或 $L \equiv -\varepsilon/(dI/dt)$ ，

unit: 1 Henry (H) \equiv 1 Weber/A or 1 V · sec/A。

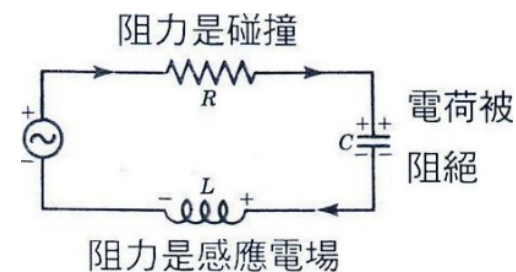
If all $\phi_i = \phi$ ，then $\sum \phi_i = N\phi$ ， $L \equiv N\phi/I$ 。



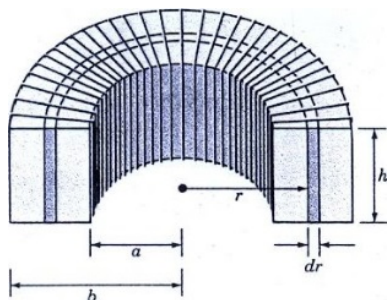
$$V_{ab} = L di/dt > 0$$



$$V_{ab} = L di/dt < 0$$



例：



Toroid 內 $B(r) = \mu_0 NI / 2\pi r$ 。

$$\phi_B \equiv \int_S \vec{B} \cdot d\vec{A} = \int_a^b Bh dr = \int_a^b (\mu_0 Ni / 2\pi r) h dr$$

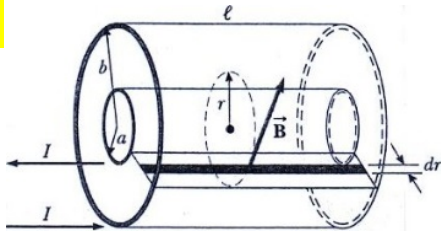
$$= (\mu_0 Nih / 2\pi) \ln(b/a) \text{。}$$

$$\therefore L \equiv N\phi/i = (\mu_0 N^2 h / 2\pi) \ln(b/a) \text{。}$$

例：long solenoid

$$N\phi = (n\ell)(\mu_0 n I A) = \mu_0 n^2 I \ell A \quad \therefore L \equiv N\phi/I = \mu_0 n^2 \ell A \quad \text{or} \quad \mu_0 N^2 A/\ell \quad .$$

例：



Coaxial cable(同軸電纜)內外殼間 $B(r) = \mu_0 I / 2\pi r$ 。

\vec{E} 無徑向分量。通過圖中平行四邊形的面的 flux

$$\phi = \int_S B dA = \int_a^b (\mu_0 I / 2\pi r) \ell dr = (\mu_0 \ell I / 2\pi) \ln(b/a) \quad .$$

$$\therefore L \equiv \phi/I = (\mu_0 \ell / 2\pi) \ln(b/a) \quad .$$

Mutual Inductance (互感) (ϕ_{1i2} 表線圈 2 電流在線圈 1 的第 i 圈中產生的 flux)

$$\varepsilon_1 = -\sum_{i=1}^{N_1} d(\phi_{1i1} + \phi_{1i2})/dt = -(d/dt) \sum_{i=1}^{N_1} (\phi_{1i1} + \phi_{1i2}) \quad .$$

$$\text{已知 } \sum_{i=1}^{N_1} \phi_{1i1} = L_1 I_1 \quad , \quad \text{現在定義 } M_{12} \equiv \left(\sum_{i=1}^{N_1} \phi_{1i2} \right) / I_2 \quad ,$$

$$\text{則 } \varepsilon_1 = -(d/dt)(L_1 I_1 + M_{12} I_2) = -L_1 dI_1/dt - M_{12} dI_2/dt \quad .$$

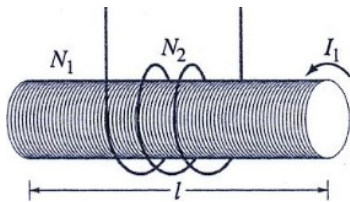
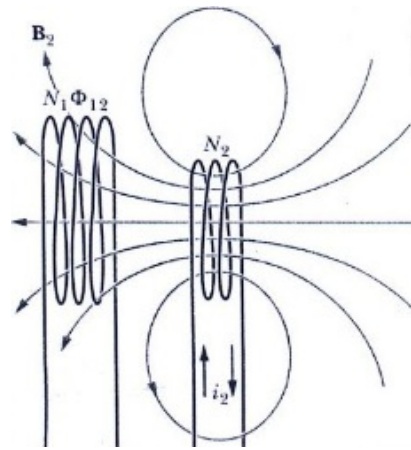
$$\text{同理 } \varepsilon_2 = -(d/dt)(L_2 I_2 + M_{21} I_1)$$

$$= -L_2 dI_2/dt - M_{21} dI_1/dt \quad .$$

If $\phi_{1i2} = \phi_{12}$ for all i and $\phi_{2j1} = \phi_{21}$ for all j , then

$$M_{12} = N_1 \phi_{12} / I_2 \quad , \quad M_{21} = N_2 \phi_{21} / I_1 \quad .$$

高等電磁學可證明 mutual inductance $M_{12} = M_{21} (\equiv M)$ 。

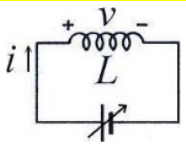


例：算 M_{12} 很難，但算 M_{21} 很簡單。

$$\phi_{21} = B_1 A_1 = \mu_0 (N_1 / \ell_1) I_1 A_1 \quad ,$$

$$\therefore M = M_{21} = N_2 \phi_{21} / I_1 = \mu_0 N_2 N_1 A_1 / \ell_1 \quad .$$

Energy Stored in an Inductor



$$dU/dt = iv = iL di/dt \quad , \quad \therefore dU = iL di \quad , \quad \leftrightarrow dU = (q/C) dq$$

$$U = \int_0^I L i di = LI^2/2 \quad . \quad \leftrightarrow U = Q^2/2C \quad .$$

Energy Density of \vec{B} Field

For a solenoid: $L = \mu_0 n^2 \ell A$, $B = \mu_0 n I$, $\therefore U = LI^2/2 = \mu_0 n^2 \ell A I^2/2$.

$$\text{Energy density } u = U/A\ell = \mu_0 n^2 I^2/2 = B^2/2\mu_0 \quad \leftrightarrow u_E = \epsilon_0 E^2/2 \quad .$$

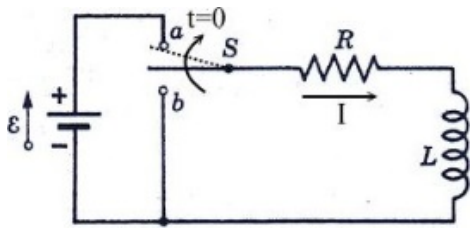
電磁學可證明此式適用於任何 \vec{B} 。

$$\text{驗證 coaxial cable : } \int (B^2/2\mu_0) dV = \int (1/2\mu_0) (\mu_0 I / 2\pi r)^2 (2\pi r \ell dr)$$

$$= (\mu_0 I^2 \ell / 4\pi) \int_a^b dr/r = (\mu_0 I^2 \ell / 4\pi) \ln(b/a) = LI^2/2 = U \quad .$$

LR Circuit

(a) charging



$$\varepsilon - IR - L \frac{dI}{dt} = 0, \text{ with } I(0) = 0.$$

$$\frac{dI}{dt} = (\varepsilon - IR)/L = (-R/L)(I - \varepsilon/R).$$

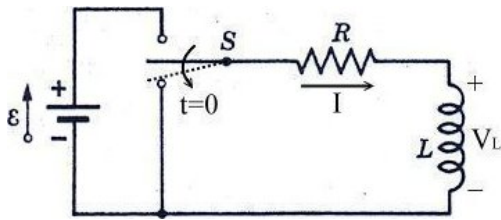
$$\int_{I(0)=0}^{I(t)} \frac{dI'}{(I' - \varepsilon/R)} = -(R/L) \int_0^t dt',$$

$$[\ln(I' - \varepsilon/R)]_0^{I(t)} = \ln[(I - \varepsilon/R)/(-\varepsilon/R)] = -Rt/L,$$

$$I(t) - \varepsilon/R = -(\varepsilon/R)e^{-Rt/L}, \quad I(t) = (\varepsilon/R)(1 - e^{-Rt/L}) = (\varepsilon/R)(1 - e^{-t/\tau}), \quad \tau \equiv L/R.$$

$$V_L = L \frac{dI}{dt} = \varepsilon e^{-Rt/L}, \quad I(\infty) = \varepsilon/R, \quad V_L(\infty) = 0 \quad (L \text{ 短路}).$$

(b) discharging



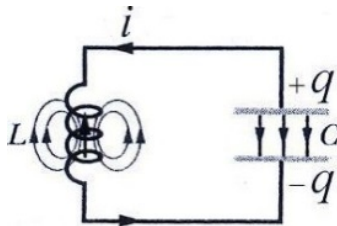
$$-IR - L \frac{dI}{dt} = 0, \text{ with } I(0) = I_0.$$

$$\frac{dI}{dt} = -(R/L)I \Rightarrow \int_{I(0)}^{I(t)} \frac{dI'}{I'} = -(R/L) \int_0^t dt',$$

$$\ln[I(t)/I_0] = -Rt/L, \quad I(t) = I_0 e^{-Rt/L} = I_0 e^{-t/\tau},$$

$$V_L = L \frac{dI}{dt} = -I_0 R e^{-Rt/L}.$$

LC Oscillation



$$q/C - L \frac{di}{dt} = 0, \text{ 代 } i = -dq/dt$$

$$\Rightarrow \frac{d^2 q}{dt^2} + (1/LC)q = 0. \quad \leftrightarrow \frac{d^2 x}{dt^2} + \omega^2 x = 0$$

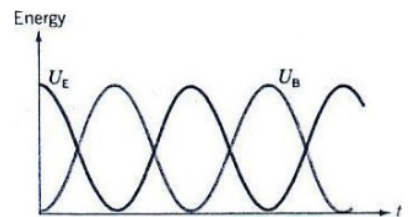
$$\therefore q(t) = Q \cos(\omega_0 t + \phi), \quad \omega_0 = \sqrt{1/LC} \text{ natural freq.}$$

$$i(t) = -dq/dt = Q\omega_0 \sin(\omega_0 t + \phi) = I \sin(\omega_0 t + \phi).$$

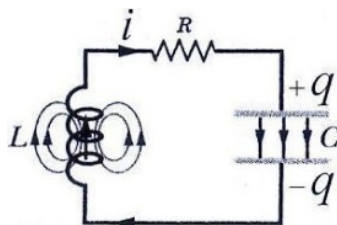
$$U = U_B + U_E = Li^2/2 + q^2/2C \quad \leftrightarrow \quad E = mv^2/2 + kx^2/2$$

$$= (LI^2/2) \sin^2(\omega_0 t + \phi) + (Q^2/2C) \cos^2(\omega_0 t + \phi).$$

$$\text{但 } LI^2 = L\omega_0^2 Q^2 = Q^2/C, \text{ 故 } U = LI^2/2 = Q^2/2C.$$



Damped LC Oscillation



$$-L \frac{di}{dt} - iR - q/C = 0, \text{ 代 } i = dq/dt$$

$$\Rightarrow L \frac{d^2 q}{dt^2} + R \frac{dq}{dt} + (1/C)q = 0.$$

$$\leftrightarrow m \frac{d^2 x}{dt^2} + \gamma \frac{dx}{dt} + kx = 0$$

$$\text{Try } q(t) = Qe^{-\alpha t} \cos(\omega t + \phi), \text{ 代入 eq. 並整理成}$$

$$Qe^{-\alpha t} [C_1(\alpha, \omega, L, R, C) \cos(\omega t + \phi) + C_2(\alpha, \omega, L, R, C) \sin(\omega t + \phi)] = 0 \text{ for all } t.$$

$$\text{故須 } C_1(\alpha, \omega, L, R, C) = 0 = C_2(\alpha, \omega, L, R, C).$$

$$\text{由此可解得 } \alpha = R/2L \text{ 與 } \omega = \sqrt{\omega_0^2 - \alpha^2} = \sqrt{1/LC - (R/2L)^2}.$$

$$(a) \text{ underdamped: } 1/LC - R^2/4L^2 > 0, \text{ 即 } R < \sqrt{4L/C}, \omega \text{ 實數, 有振盪,}$$

$$x(t) = Qe^{-Rt/2L} \cos(\omega t + \phi), \quad Q \text{ \& } \phi \text{ 由 } q(0) \text{ \& } i(0) \text{ 決定.}$$

- (b) critically damped : $1/LC - R^2/4L^2 = 0$, 即 $R = \sqrt{4L/C}$, $\omega = 0$, 無振盪 ,
 $q(t) = (C + Dt)e^{-Rt/2L}$, C & D 由 $q(0)$ & $i(0)$ 決定。
- (c) overdamped : $1/LC - R^2/4L^2 \equiv -a^2 < 0$, 即 $R > \sqrt{4L/C}$, ω 虛數 , 無振盪 ,
 $q(t) = Ce^{-(a+R/2L)t} + De^{-(-a+R/2L)t}$, C & D 由 $q(0)$ & $i(0)$ 決定。

Magnetic Properties of Matter

$\vec{\mu}$ of an atom

Current $I = ef = ev/2\pi r$,

$$\mu = IA = (ev/2\pi r)\pi r^2 = evrm/2m = eL/2m .$$

但在量子力學中 $L = n\hbar$, $n = 0, 1, 2, 3, \dots$, $\hbar \equiv h/2\pi$,

(Planck's constant $h = 6.626 \times 10^{-34} \text{ J} \cdot \text{s}$)

$$\therefore \mu_L = en\hbar/2m = n\mu_B ,$$

$$\mu_B \equiv e\hbar/2m = 9.274 \times 10^{-24} \text{ A} \cdot \text{m}^2 \text{ (Bohr magneton).}$$

Spin of e^- also gives $\mu_S = e\hbar/2m = \mu_B$ ($= eS/m$, $\neq eS/2m$, $\because S = \hbar/2$).

$$\vec{\mu}_{atom} = \vec{\mu}_{nucleus} + \sum_{i=1}^Z (\vec{\mu}_{Li} + \vec{\mu}_{Si}) , \text{ permanent dipole.}$$

介質中的 mag. dipole density (magnetization) $\vec{M} \equiv \lim_{\Delta V \rightarrow 0} [(\sum_{atom} \vec{\mu}_{atom}) / \Delta V]$.

介質中磁場 $\vec{B} = \vec{B}_0 + \vec{B}_M$, \vec{B}_0 由外來電流 I_{ext} 建立 , \vec{B}_M 由介質的 \vec{M} 建立。

以 current loop 代表介質中的原子、分子。考慮 $\oint_C \vec{B} \cdot d\vec{\ell} = \mu_0 I_{encl}$,

只有圈住 C 的 loops 對 I_{encl} 有貢獻 , 所有中心落在圖示柱狀區域內的都是 , 共有 $N(\vec{a} \cdot d\vec{\ell})$ 個 , N 是每單位體積的原分子數。故

$d\vec{\ell}$ 對 I_{encl} 貢獻 $N(i\vec{a}) \cdot d\vec{\ell} = (N\vec{\mu}_{atom}) \cdot d\vec{\ell} = \vec{M} \cdot d\vec{\ell}$.

$$\therefore \oint_C \vec{B} \cdot d\vec{\ell} = \mu_0 (I_{ext} + \oint_C \vec{M} \cdot d\vec{\ell}) , \text{ 故 } \oint_C (\vec{B}/\mu_0 - \vec{M}) \cdot d\vec{\ell} = I_{ext} .$$

定義 $\vec{H} = \vec{B}/\mu_0 - \vec{M}$, 則 $\oint_C \vec{H} \cdot d\vec{\ell} = I_{ext}$.

$\therefore \vec{M}$ 必平行於 \vec{B} , $\therefore \vec{H} // \vec{B}$, 可寫成 $\vec{B} = \mu(H)\vec{H}$.

另又知 $\oint_C (\vec{B}_0/\mu_0) \cdot d\vec{\ell} = I_{ext}$, 故必有 $\vec{H} = \vec{B}_0/\mu_0 + \vec{f}$, 其中 $\oint_C \vec{f} \cdot d\vec{\ell} = 0$ (保守)。

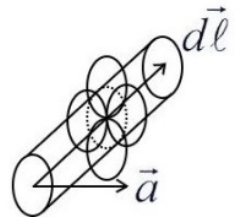
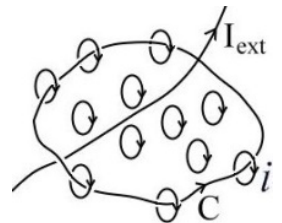
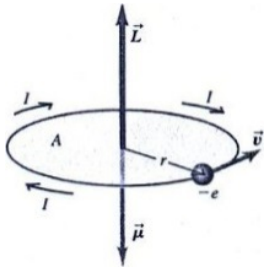
若 $\mu(H) = const.$ (介質是 linear) , 當 \vec{B} 均勻或介質無限大時 , 可証明 $\vec{f} = 0$,

此時 $\vec{B}/\mu_0 - \vec{M} \equiv \vec{H} = \vec{B}_0/\mu_0 + 0$, 即 $\vec{B}_M = \vec{B} - \vec{B}_0 = \mu_0 \vec{M}$.

\vec{B} 有多種寫法 : $\vec{B} = \vec{B}_0 + \vec{B}_M = \vec{B}_0 + \mu_0 \vec{M} = (1 + \chi_m)\vec{B}_0 = K_m \vec{B}_0 = K_m \mu_0 \vec{H} = \mu \vec{H}$,

$\chi_m \equiv \mu_0 M/B_0$ susceptibility (磁感率) , $K_m \equiv 1 + \chi_m$ relative permeability ,

$\mu \equiv K_m \mu_0$ permeability . $\oint_C \vec{B} \cdot d\vec{\ell} = \oint_C \mu \vec{H} \cdot d\vec{\ell} = \mu I_{encl}$, 公式的 μ_0 全被 μ 取代。



Paramagnetism (順磁性, $\vec{\mu}_{atom} \neq 0$ 的物質, 例 Al 、 Na 、 O_2 、 K 、 Mg 、 Mn 、...)

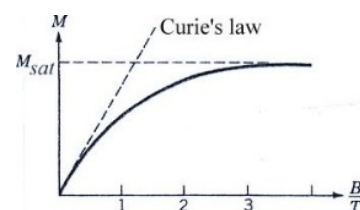
$\vec{\tau} = \vec{\mu}_{atom} \times \vec{B}$ 使 $\vec{\mu}_{atom}$ 與 \vec{B} 同向, $\therefore \chi_m \equiv \mu_0 M/B_0 > 0$, $K_m > 1$, $\mu > \mu_0$ 。

但須考慮熱騷動: $kT \approx 6 \times 10^{-21} J$ at $T = 300 K$,

$2\mu_{atom} B \approx 1.9 \times 10^{-23} J$ at $B = 1 T$, 即 $kT \approx 300(2\mu_{atom} B)$ 。

Curie's law: $M = C(B/T)$ for low B/T , C : Curie's constant.

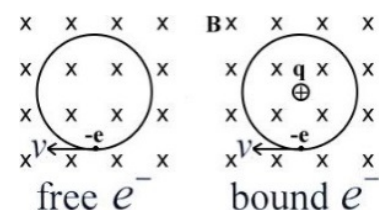
At low B/T , $M \propto B \propto B_0$. Saturated $\vec{M}_{sat} = N\vec{\mu}_{atom}$.



Diamagnetism (反磁性, $\vec{\mu}_{atom} = 0$, 例 C 、 Cu 、 Pb 、 Zn 、 Au 、 Ag 、 $NaCl$ 、...)

電荷在 \vec{B} 中運動時, 不論是 free or bound, 誘發的 dipole

$\vec{\mu}_{ind}$ 都與 \vec{B} 反向, $\therefore \chi_m < 0$, $K_m < 1$, $\mu < \mu_0$ 。所有物質都有反磁性, 但在 $\vec{\mu}_{atom} \neq 0$ 的物質中會被淹沒而不顯。



【參考不考: $-e$ 被 $+q$ 束縛, 以 B 進紙面、 v 順時針為正 (右上圖),

則 $mv^2/r = kqe/r^2 + evB$ 。 B 改變時, $\varepsilon = -d\phi_B/dt \Rightarrow E = -(r/2)dB/dt$,

故 $\Delta v = \int (-eE/m)dt = \int (er/2m)(dB/dt)dt = (er/2m)\Delta B$, 即 $dv = (er/2m)dB$ 。

$mv^2/r = kqe + evBr^2 \Rightarrow m2v(dv)r + mv^2dr = e(dv)Br^2 + ev(dB)r^2 + evB2rdr$,

代 $dB = (2m/er)dv$, 可得 $dr/r = [evB/(mv^2/r - 2evB)]dv/v \ll dv/v$ (因 $mv^2/r \gg evB$), 故 dr 可略。 故 $B \uparrow \Rightarrow v \uparrow \Rightarrow \mu = I\pi r^2 \uparrow$, $\vec{\mu}_{ind}$ 與 \vec{B} 反向。】

Ferromagnetism (鐵磁性, 例 Fe 、 Co 、 Ni 、 Gd 、 Dy 、 CrO_4 、 EuO 、 Fe_3O_4)

在邊長約 $1 mm$ 、含 10^6 atoms 的磁域 (magnetic domains) 內,

原子外層 e^- 的 spin 都在同方向。不能用古典物理解釋, 因為


雖然  能量低, 但  能量卻高。

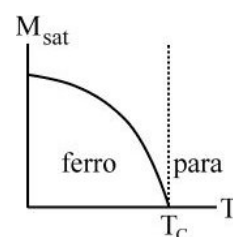


須用 Pauli's exclusion principle 解釋: 若 $2e^-$ 的 spin 同 (反) 方向,

即在相同 (不同) spin state, 則它們的 space states 必不同 (可

相同), 距離較遠 (近), 而使庫倫位能較低 (高), 故 e^- spins

喜在同方向。但若 domain 太大, 則因  能量太高而不穩。

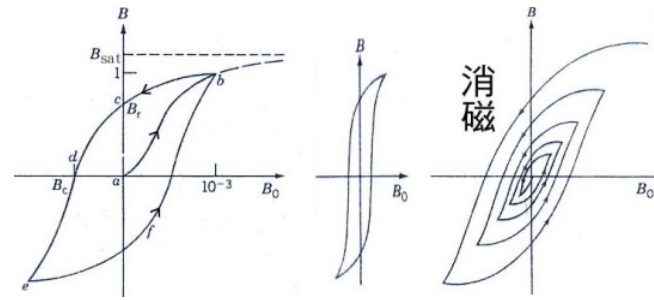


觀察磁域: 將鐵粉灑在鐵磁物質表面時, 鐵粉會被吸往磁域邊界 (此處磁場不均勻)。

加上外來磁場 \vec{B}_0 時, \vec{M} 與 \vec{B}_0 平行的磁域會擴大, 與 \vec{B}_0 反向的會縮小並稍轉向。

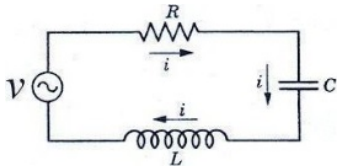
$\vec{B} = \mu(H)\vec{H}$, 在鐵磁性物質中 $\mu(H)/\mu_0 = 1,000 \sim 100,000$, 通常 $\vec{H} \neq \vec{B}_0/\mu_0$ 。

Hysteresis (磁滯, 右圖): 嚴重者 (曲線包圍的面積很大) 適合作永久磁鐵; 中等者適合作記憶體; 輕微者適合作變壓器、電磁鐵。



H.W. : Prob. 2, 9, 10, 11, 13.

Ch. 33 Alternating Current Circuits



$$V \sin(\omega t) - L di/dt - iR - q/C = 0.$$

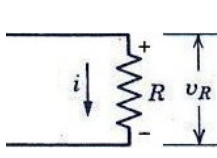
$$\text{代 } i = dq/dt \Rightarrow L d^2q/dt^2 + R dq/dt + (1/C)q = V \sin(\omega t).$$

$$\text{穩定時必有 } q(t) = Q \sin(\omega t + \phi).$$

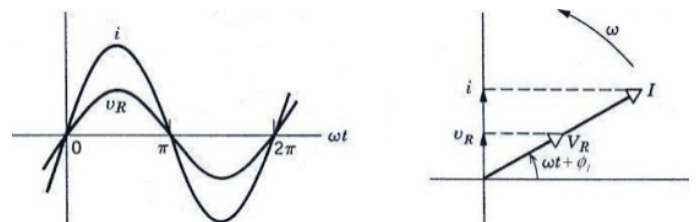
$$\text{用 } \sin(\omega t) = \sin(\omega t + \phi - \phi) = \sin(\omega t + \phi) \cos \phi - \cos(\omega t + \phi) \sin \phi,$$

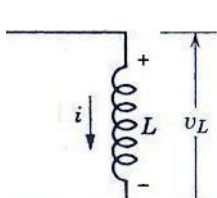
代入 eq. 整理後 $\sin(\omega t + \phi)$ & $\cos(\omega t + \phi)$ 的係數須分別為零, 而解出 Q & ϕ .

但本章要用 “phasor” 的方法解: 假設 $i(t) = I \sin(\omega t + \phi_I)$, $v_R(t) = V_R \sin(\omega t + \phi_R)$, $v_L(t) = V_L \sin(\omega t + \phi_L)$, $v_C(t) = V_C \sin(\omega t + \phi_C)$, 先逐一檢定 (V_R, ϕ_R) 、 (V_L, ϕ_L) 、 (V_C, ϕ_C) 與 (I, ϕ_I) 的關係, 再求解。

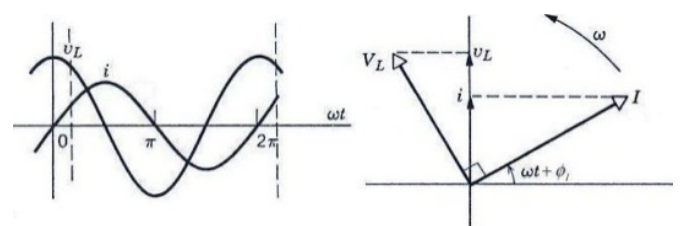


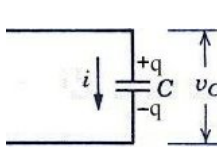
$$\begin{aligned} i &= I \sin(\omega t + \phi_I), \\ v_R &= V_R \sin(\omega t + \phi_R) = iR \\ &= IR \sin(\omega t + \phi_I), \\ \therefore V_R &= IR, \quad R \text{ (電阻)}, \quad \phi_R = \phi_I. \end{aligned}$$





$$\begin{aligned} i(t) &= I \sin(\omega t + \phi_I), \\ v_L &= V_L \sin(\omega t + \phi_L) = L di/dt \\ &= I\omega L \cos(\omega t + \phi_I) \\ &= I\omega L \sin(\omega t + \phi_I + 90^\circ), \\ \therefore V_L &= I\omega L = IX_L, \quad X_L \equiv \omega L \text{ inductive reactance (電抗)}, \quad \phi_L = \phi_I + 90^\circ. \end{aligned}$$





$$\begin{aligned} i(t) &= I \sin(\omega t + \phi_I) = dq/dt, \\ v_C &= V_C \sin(\omega t + \phi_C) = q/C \\ &= -(I/\omega C) \cos(\omega t + \phi_I) \\ &= (I/\omega C) \sin(\omega t + \phi_I - 90^\circ), \end{aligned}$$

$$\therefore V_C = I/\omega C = IX_C, \quad X_C \equiv 1/\omega C \text{ capacitive reactance (電抗)}, \quad \phi_C = \phi_I - 90^\circ.$$

